

Рис. 1. Геометрическая конфигурация исследуемой рабочей камеры: а) — плоский торец, б) — плоский торец под углом к оси 30° , в) — плоский торец под углом к оси 45° , г) — плоский торец под углом к оси 150° , д) — клинообразное дно, е) — сферическая форма торца, ж) — цилиндрическое углубление диаметром 0,4 калибра, з) — цилиндрическое углубление диаметром 0,7 калибра.

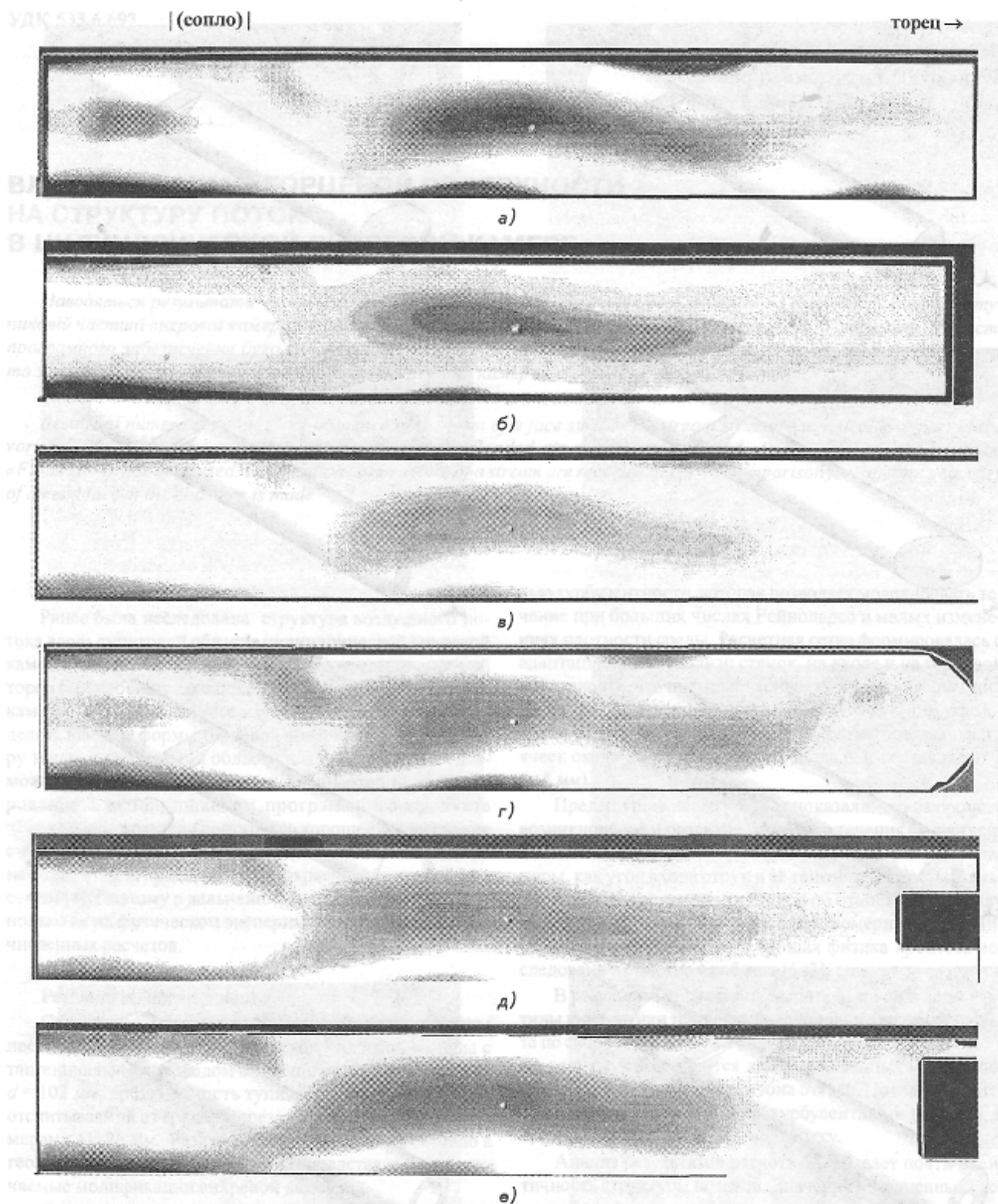


Рис. 2. Структура потока в диаметральном сечении вихревой камеры по результатам распределения осевой составляющей скорости тупикового течения при $Re_c=77590$, максимальной тангенциальности сопла и $L/d = 4,4$: а) — плоский торец под углом к оси 30° , б) — плоский торец под углом к оси 150° , в) — клинообразное дно, г) — сферическая форма торца, д) — цилиндрическое углубление диаметром 0,4 калибра, е) — цилиндрическое углубление диаметром 0,7 калибра.

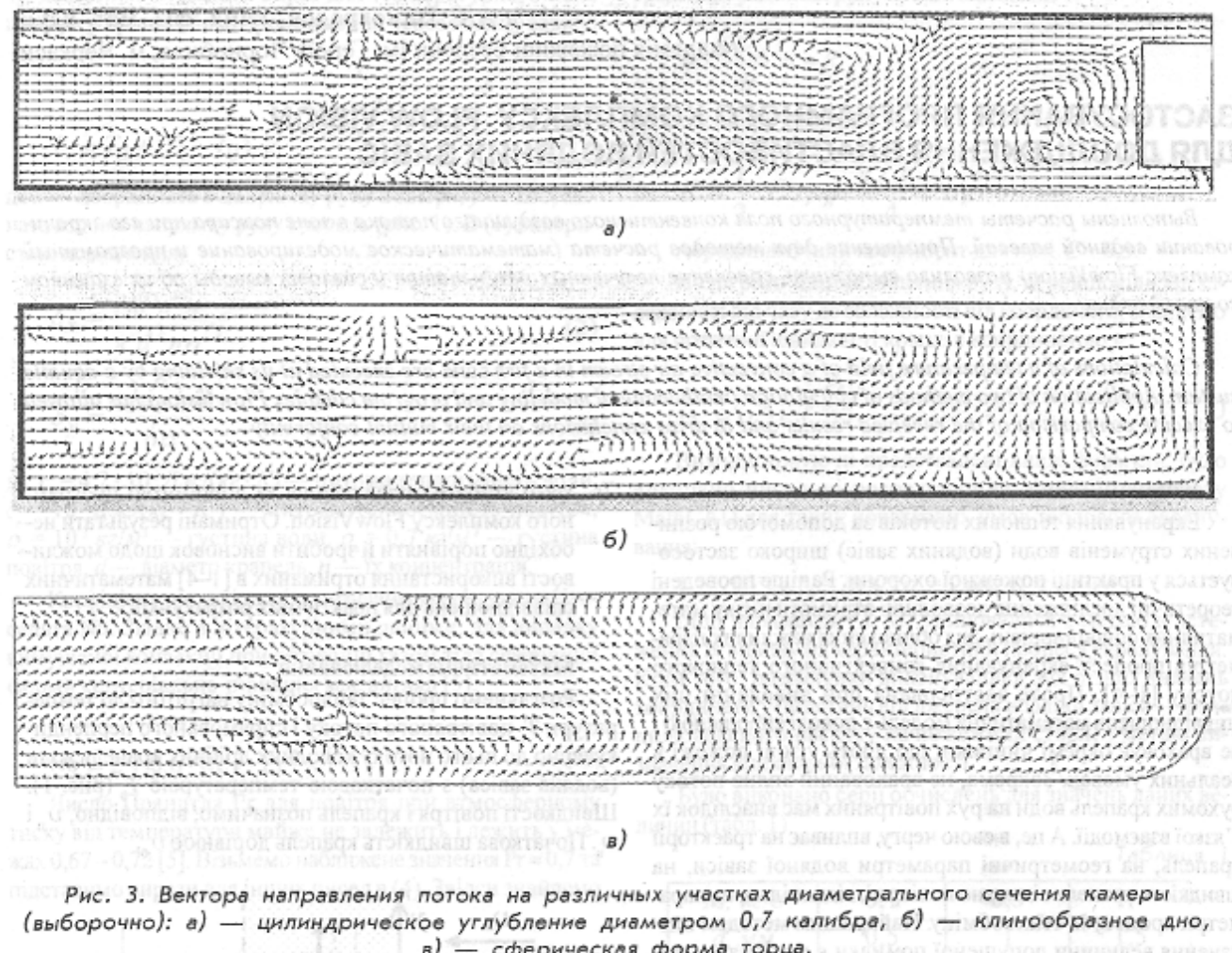


Рис. 3. Вектора напрямлення потока на різних участиках діаметрального сечення камери (випорочно): а) — циліндрическе углубление диаметром 0,7 калибра, б) — клинообразное дно, в) — сферическая форма торца.

Выводы

Численный расчет показал, что принимать геометрию торца как фактор влияния на структуру потока нецелесообразно ввиду того, что несмотря на различие в геометрии степень влияния каждой из них незначительна. Как показывает опыт исследования, этот фактор в описанных условиях работы вихревой камеры можно отнести к разряду второстепенного и для практических расчетов не принимать во внимание.

Литература

- Макаренко, Р.А., Турик, В.Н. Кинематика течения в тупиковой части вихревой камеры // Прикладная гидромеханика. — 2001. — Т. 3 (75), №1. — С. 46—51.
- Макаренко, Р.А., Турик, В.Н. Способы визуализации течения в цилиндрической вихревой камере // Промисловая гидравлика и пневматика. — 2009. — № 2 (28). — С. 23—25.
- Макаренко, Р.А., Турик, В.Н. О макроструктуре приторцевого течения в вихревой камере // Вестник нац. техн. ун-та Укр. «КПИ». Машиностроение. — К. — 1999. — Вып. 35. — С. 127—131.
- Макаренко, Р.А. Численное моделирование трехмерного течения в цилиндрической вихревой камере // Промисловая гидравлика и пневматика. — 2009. — № 1 (27). — С. 29—31.

Для кинематического анализа вихревой камеры введены координаты, выкористані при наближенні ступінчатого